

Simulation pour l'équation des Ondes

Clément MARADEI

Institut Galilée & Inria Paris

Janvier-Février 2023





Introduction

- L'équation des ondes est un modèle qui permet de décrire la propagation des ondes acoustiques dans le sous-sol.
- Un modèle a été proposé pour prendre en compte l'atténuation au sein de milieux saturés. Il comporte deux termes additionnels.
- On cherche à comparer les deux modèles et comprendre le rôle de chaque paramètre.

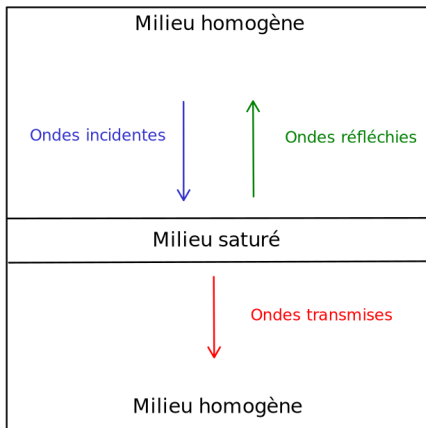




Table des matières

① L'équation des ondes acoustiques en dimension 2

Modèle de l'équation des ondes

Formulation variationnelle

Exemples

② L'équation des ondes avec des termes d'amortissement

Modèles avec les conditions aux limites

Formulation variationnelle

Estimation de convergence

Modèle avec les PML

③ Simulation numérique

Reproduction des résultats

Comparaison de l'atténuation induite par chaque paramètre

Différentes valeurs de η et γ

On considère Ω un ouvert borné de \mathbb{R}^2 et de frontière $\partial\Omega = \Gamma_1 \cup \Gamma_2 \cup \Gamma_3$.
 Trouver $u : \Omega \times]0, T[\longrightarrow \mathbb{R}$

$$\frac{1}{c^2} \frac{\partial^2 u}{\partial t^2}(x, t) - \operatorname{div}(\nabla u(x, t)) = f(x, t) \quad \forall x \in \Omega \quad \forall t \in]0, T[$$

$$u(x, 0) = u_0(x), \quad \frac{\partial u}{\partial t}(x, 0) = u_1(x) \quad \forall x \in \Omega$$

Avec des conditions aux limites sur $\partial\Omega$, c étant la vitesse de propagation de l'onde.

On établit dans un premier temps le problème continu. On considère l'espace $V = \left\{ v \mid v \in H^1(\Omega) \text{ et } v|_{\Gamma_1} = 0 \right\}$. En multipliant l'équation des ondes par une fonction test $v \in V$ et en intégrant sur Ω , on obtient $\forall v \in V$

$$\int_{\Omega} \frac{1}{c^2} \frac{\partial^2 u}{\partial t^2}(x, t) v(x) dx + \int_{\Omega} \nabla u(x, t) \nabla v(x) dx + \int_{\Gamma_2} \frac{1}{c} \frac{\partial u}{\partial t}(s, t) v(s) ds$$

$$= \int_{\Gamma_3} g_2(s, t) v(s) ds + \int_{\Omega} f(x, t) v(x) dx$$



On considère l'espace d'approximation suivant :

$$V_h(\Omega) = \left\{ v \in C^0(\Omega), \forall K, v|_K \in P_1 \text{ et } v|_{\Gamma_1} = 0 \right\}$$

Pour la discrétisation en temps, on utilise une méthode de différences finies en temps et on rend le schéma implicite avec un paramètre θ . On utilise donc :

$$\frac{d^2}{dt^2} u_h(t_n) \approx \frac{u_h^{n+1} - 2u_h^n + u_h^{n-1}}{\Delta t^2} \text{ et } \frac{d}{dt} u_h(t_n) \approx \frac{u_h^{n+1} - u_h^{n-1}}{2\Delta t}$$

Et

$$u_h^n \approx \theta u_h^{n+1} + (1 - 2\theta) u_h^n + \theta u_h^{n-1}$$

En notant $u_h^n = u_h(t_n)$, une approximation de la solution analytique au temps t_n , on est amené à résoudre un problème variationnel de la forme $A(u_h^{n+1}, v_h) = L(v_h)$ pour chaque pas de temps.

$$A(u_h^{n+1}, v_h) = \int_{\Omega} u_h^{n+1} v_h dx + c^2 \Delta t \int_{\Omega} \theta \nabla u_h^{n+1} \nabla v_h dx + \frac{c}{2} \Delta t \int_{\Gamma_2} u_h^{n+1} v_h ds$$

$$\begin{aligned} \text{Et } L(v_h) = & \int_{\Omega} (2u_h^n - u_h^{n-1}) v_h dx - c^2 \Delta t^2 \int_{\Omega} ((1-2\theta) \nabla(u_h^n) + \theta \nabla(u_h^{n-1})) \nabla v_h dx \\ & + \Delta t^2 c^2 \int_{\Omega} f(t_n) v_h dx + \Delta t^2 c^2 \int_{\Gamma_3} g_2(t_n) + \frac{c}{2} \Delta t \int_{\Gamma_2} u_h^{n-1} v_h ds \end{aligned}$$

Ici, $u_h = (u_h^0, u_h^1, \dots, u_h^{N_t})$. Au temps t_{n+1} , u_h^n et u_h^{n-1} sont connus, ils font donc partie de la forme linéaire.

Exemples

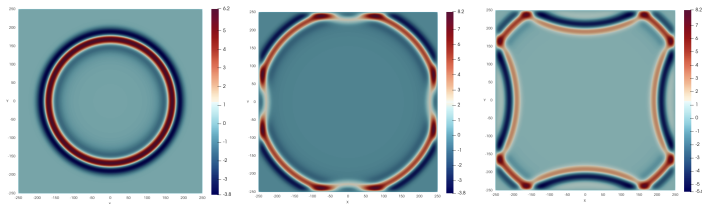


Figure: Modèle sans CLA

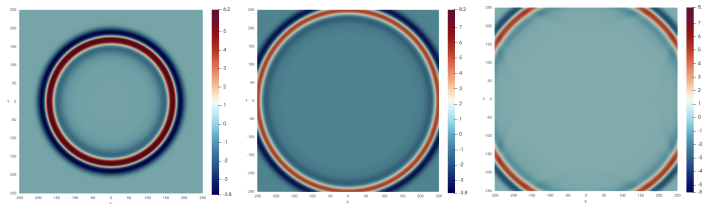


Figure: Modèle avec CLA

Table des matières

① L'équation des ondes acoustiques en dimension 2

Modèle de l'équation des ondes

Formulation variationnelle

Exemples

② L'équation des ondes avec des termes d'amortissement

Modèles avec les conditions aux limites

Formulation variationnelle

Estimation de convergence

Modèle avec les PML

③ Simulation numérique

Reproduction des résultats

Comparaison de l'atténuation induite par chaque paramètre

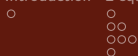
Différentes valeurs de η et γ



Puisqu'on a imposé des conditions aux limites de Dirichet homogènes, on considère l'espace de Hilbert $V = H_0^1(\Omega)$. On multiplie alors l'équation par une fonction test $v \in V$ puis on intègre sur Ω . On a

$$\begin{aligned} \int_{\Omega} \gamma \frac{\partial u}{\partial t}(x, t) v(x) dx + \int_{\Omega} \frac{\partial^2 u}{\partial t^2}(x, t) v(x) dx + \int_{\Omega} c^2 \nabla u(x, t) \nabla v(x) dx \\ + \int_{\Omega} \frac{\partial}{\partial t} \eta \nabla u(x, t) \nabla v(x) dx = \int_{\Omega} f(x, t) v(x) dx \quad \forall v \in V \end{aligned}$$

Comme pour le modèle acoustique, on considère une discrétisation en temps et en espace pour résoudre un problème sous la forme $A(u_h^{n+1}, v_h) = L(v_h)$ pour chaque pas de temps.



Estimation de convergence

On choisit la solution analytique donnée par Kim et Douglas. $\Omega = (0, 1)^2$ et $T = 1$:

$$u(x, y, t) = (1 + 0.5 \sin(\pi^2 t)) \sin(5\pi x) \sin(3\pi y), \quad (x, y, t) \in \Omega \times]0, T[$$

Avec le terme source correspondant. On a les résultats de convergence suivant.

| $(\Delta t, h)$ | $\theta = 0.25$ | | $\theta = 0.5$ | |
|-----------------|-------------------|---------------|-------------------|---------------|
| | $E_\infty(T = 1)$ | Ordre observé | $E_\infty(T = 1)$ | Ordre observé |
| (0.02, 0.04) | 4.91E-2 | | 5.01E-2 | |
| (0.01, 0.02) | 1.69E-2 | 1.70 | 1.72E-2 | 1.71 |
| (0.005, 0.01) | 6.11E-3 | 1.66 | 6.16E-3 | 1.67 |
| (0.0025, 0.005) | 2.40E-3 | 1.60 | 2.45E-3 | 1.59 |

Table: Estimation de l'ordre de convergence suivant θ

Il n'existe pas de CLA connus pour le modèle avec amortissement. En revanche, il a été proposé un modèle avec des PML : *Perfectly Matched Layers*. On étend le domaine avec une couche absorbante qui ne provoque pas de réflexions non désirées. Sa formulation demande l'introduction de plusieurs fonctions auxiliaires. On reprend la formulation de Zhao et Gao.

On considère le domaine $\Omega \times]0, T[$ où
 $\Omega = [-a_1 - L_1, a_1 + L_1] \times [-a_2 - L_2, a_2 + L_2]$. L_1 et L_2 représente
 l'épaisseur des couches suivant x et y .

$$\begin{cases} \frac{\partial^2 u}{\partial t^2}(x, t) + (\xi_1 + \xi_2 + \gamma) \frac{\partial u}{\partial t}(x, t) + [\xi_1 \xi_2 + \gamma(\xi_1 + \xi_2)] u(x, t) \\ + c^2 \operatorname{div} \nabla u(x, t) + \eta \nabla \cdot \phi(x, t) - \gamma \xi_1 \xi_2 \psi(x, t) + c^2 = f(x, t) \\ \frac{\partial \phi}{\partial t}(x, t) = \Gamma_1 \phi(x, t) + \Gamma_2 \nabla u(x, t) \\ \frac{\partial \psi}{\partial t}(x, t) = u(x, t) \end{cases}$$

$$\Gamma_1 = \begin{bmatrix} -\xi_1 & 0 \\ 0 & -\xi_2 \end{bmatrix} \text{ et } \Gamma_2 = \begin{bmatrix} \xi_2 - \xi_1 & 0 \\ 0 & \xi_1 - \xi_2 \end{bmatrix}$$

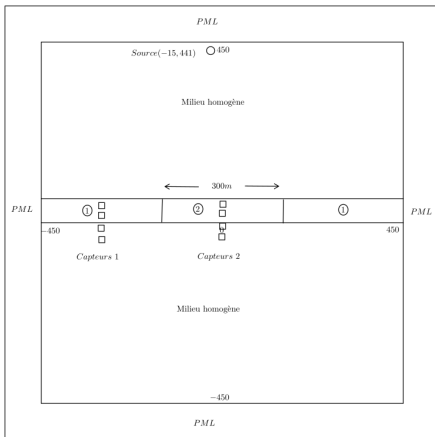
Les fonctions ξ_1 et ξ_2 sont les fonctions d'atténuations liées aux PML.

On en vient à résoudre successivement 4 formulations variationnelles discrètes dans l'espace des éléments finis V_k^h défini précédemment :

$$\int_{\Omega} \left(\frac{\psi_h^{n+1} - \psi^n}{\Delta t} \right) z dx = \int_{\Omega} u^n z dx, \quad z \in V^h(\Omega) \quad (1)$$

$$\begin{aligned} & \int_{\Omega} \frac{u_h^{n+1} - 2u_h^n + u_h^{n-1}}{\Delta t^2} + \int_{\Omega} (\xi_1 + \xi_2 + \gamma) \frac{u_h^{n+1} - u_h^{n-1}}{2\Delta t} v dx \\ & + \int_{\Omega} [\xi_1 \xi_2 + \gamma(\xi_1 + \xi_2) u_h^n] v dx + \eta \int_{\Omega} \frac{\nabla u_h^{n+1} - \nabla u_h^{n-1}}{2\Delta t} \nabla v dx \\ & + \int_{\Omega} c^2 \nabla (\theta u_h^{n+1} + (1 - 2\theta) u_h^n + \theta u_h^{n-1}) \nabla v dx + \eta \int_{\Omega} \phi^n \nabla v dx \\ & + \int_{\Omega} \phi^n \nabla (c^2 v) dx + \int_{\Omega} \gamma \xi_1 \xi_2 \psi^n v dx = \int_{\Omega} f^n v dx, \quad v \in V^h(\Omega) \quad (2) \end{aligned}$$

Figure: Schéma de l'expérience



Reproduction des résultats

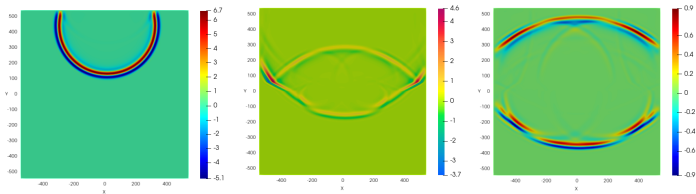


Figure: Champs de pression pour le modèle diffus

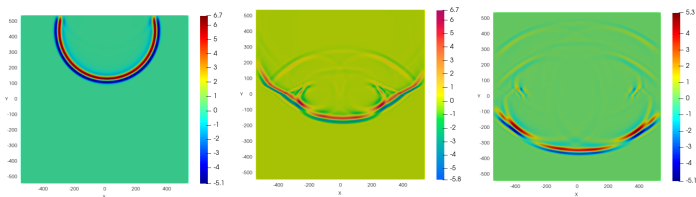


Figure: Champs de pression pour le modèle acoustique

Reproduction des résultats

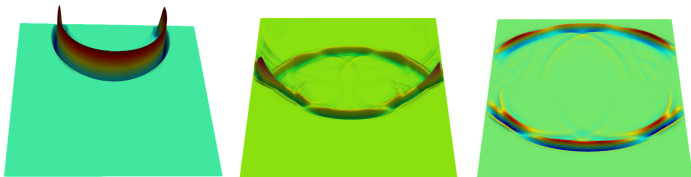


Figure: Champs de pression 3D pour le modèle diffus

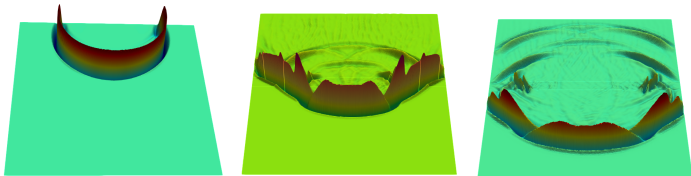


Figure: Champs de pression 3D pour le modèle acoustique

Reproduction des résultats

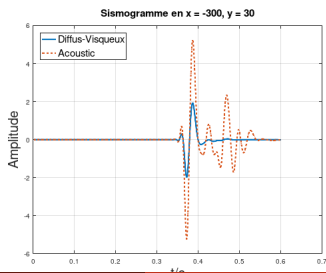
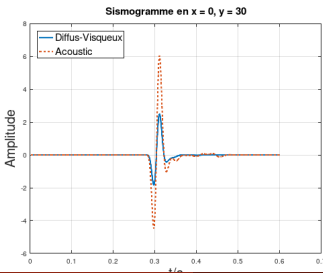
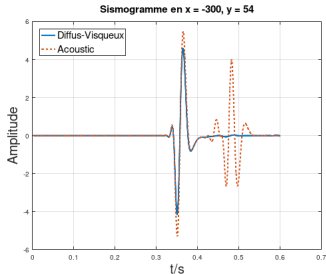
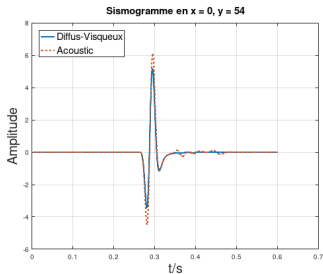
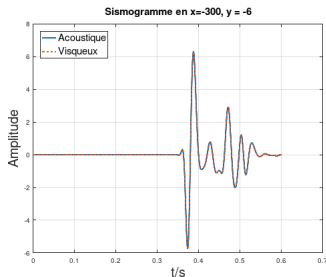
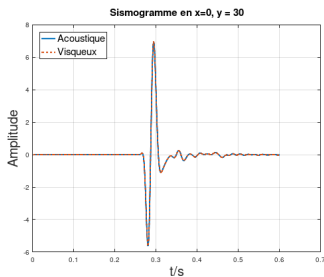


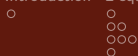
Figure: Sismographes pour les modèles acoustiques et visqueux



Les courbes sont confondues, on cherche à l'expliquer.

- On obtient pour $\eta = 0.02$ avec $\gamma = 0 \rightarrow \alpha = 2.8 \cdot 10^{-9}$
- On obtient pour $\gamma = 90$ avec $\eta = 0 \rightarrow \alpha = 2.1 \cdot 10^{-2}$

Ces deux valeurs pour le coefficient d'atténuation rendent compte de l'effet observé. Le paramètre η a un effet négligeable devant celui de γ .



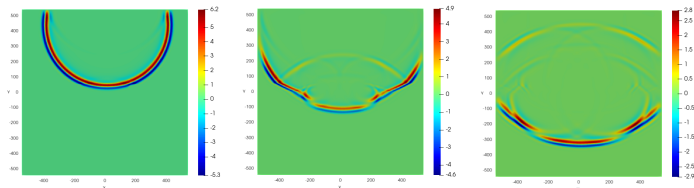
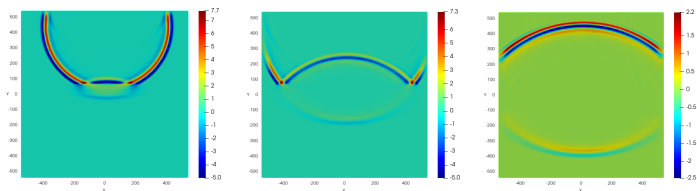
On propose alors de nouvelles valeurs pour η et γ pour voir leur rôle respectif.

Table: Amortissement γ

| Milieu | $\gamma(Hz)$ | $\eta(m^2 \cdot s^{-1})$ | $c(m \cdot s^{-1})$ |
|------------------------|--------------|--------------------------|---------------------|
| Milieu homogène | 0.0 | 0.0 | 1600 |
| Milieu saturé en eau | 30 | 0.0 | 1470 |
| Milieu saturé en huile | 21.6 | 0.0 | 1015 |

Table: Amortissement η

| Milieu | $\gamma(Hz)$ | $\eta(m^2 \cdot s^{-1})$ | $c(m \cdot s^{-1})$ |
|------------------------|--------------|--------------------------|---------------------|
| Milieu homogène | 0.0 | 0.0 | 1600 |
| Milieu saturé en eau | 0.0 | $1.58 \cdot 10^5$ | 1470 |
| Milieu saturé en huile | 0.0 | $1.16 \cdot 10^5$ | 1015 |

Différentes valeurs de η et γ Figure: Champs de pression avec amortissement $\frac{\partial}{\partial t} u$ Figure: Champs de pression avec amortissement $\frac{\partial}{\partial t} \Delta u$

Différentes valeurs de η et γ 